

論 文

B. B. D.를 이용한 콤필터 뱅크回路에 關한 研究

正會員 李 光 衡*

A Study on a Comb Filter Bank Circuit using B. B. D.

Kwang Hyung LEE*, Regular Member

要 約 N段의 1次遲延線路로 B. B. D. (Bucket-Brigade Device)를 사용하여 C. F.(Comb Filter)를構成하였다. S/H (Sample and Hold)回路로 R. F. (Recursive Filter)를 구성하여 C. F.에 종속접속한 B. P. F. (Band Pass Filter)群의 한 채널에 대하여 실험하였다. 이와 같은 C. F. B. (Comb Filter Bank)의 알고리즘은並列形스펙트럼解析回路가 되며 F. F. T. 보다도 콤필터 적게 처리될 수 있는 利點이 있고 SN비의 改善이 가능하다.

ABSTRACT A Comb Filter (C. F.) is constructed with a N-stages one-dimensional B. B. D. (Bucket-Brigade Device) delay line. One channel of the B. P. F. (Band Pass Filter) Bank is experimented, which includes a R. F. (Recursive Filter) using S/H circuits cascaded to the C. F. This algorithm of the C. F. B. (Comb Filter Bank) becomes the parallel spectrum analyzer circuit. The algorithm has less number of multiplication than that of FFT and improves the SNR.

1. 서 론

스펙트럼을 解析하는 方法에는 B. P. F.群에 의한 方法과 해테로다인形의 두 가지가 있다. 現在 使用되고 있는 스펙트럼分析 B. P. F. 뱅크回路는 24채널의 能動 RC回路로서 B. P. F. 部는 3段縱屬의 스태거方式으로 所要周波數特性을 얻고 있다. 빗살形의 주파수 特성을 얻는 콤필터는 遲延段數 N의 1次遲延素子 B. B. D.를 使用하여 構成할 수 있다. N個의 並列共振器를 接續함으로써 周波數標本方法에 의한 C. F. B. 가 構成된다.

從來의 C. F.에는 遲延線路로서 水晶이 使用되고 있다. 水晶遲延線路는 LC여파기보다 Q가 높고 ($Q = 10^5$ 정도) 小形의 利點이 있다. 그러나 捕入損失이 50dB정도에 温度變化에 따른 遲延特性의 變化가 大한 短點이 있다. 여기에 電荷轉送素子 (C. T. D.)의 一...種인 B. B. D.를 使用함으로써

디자인 필터理論의 長點을 살리고 A/D변환기 없이 애널로그信號量을 그대로 處理할 수 있는 利點이 있다.

2. 周波數標本濾波器 (F. S. F.)^{(1), (2), (3)}

F. I. R. (有限 impulse response) 여파기는 모두 零을 갖는 회로구성으로 安定性, 線形位相, 高速處理의 利點이 있다.

傳達函數 $H(z)$ 와 임펄스應答 $h(n)$ 사이에는 다음 관계가 있다.

$$H(z) = \sum_{n=0}^{N-1} h(n) \cdot z^{-n} \quad (1)$$

$$h(n) = \frac{1}{N} \sum_{k=0}^{N-1} H_k \cdot e^{j \frac{2\pi kn}{N}} \quad (2)$$

여기서 $H_k = H(z)|_{z=e^{j \frac{2\pi k}{N}}}$

(2)式을 (1)에 代入하여 정리하면,

$$H(z) = \frac{1 - z^{-N}}{N} \cdot \sum_{k=0}^{N-1} \frac{H_k}{1 - W_N^{-k} \cdot z^{-1}} \quad (3)$$

여기서 $W_N^{-k} = e^{j \frac{2\pi k}{N}}$

(3)式은 그림 1과 같이 C. F.의 N개의 零點에 대응하는 N개의 極點으로 구성되어 있다. 실제로는 C. F.의 零點을 맞추어서 없애는 極點은 Z

* 崇田大學校工科大學電子工學科

Dept. of Electronic Engineering, Soong Iun University,
Seoul, 151 Korea

論文番號 82-19 (接受 1982.11.6)

平面의 單位 圓의 조급 안쪽에 놓아 安定한動作
을 시킨다.

$$H(z) = (1 - r^N z^{-N}) \cdot \frac{1}{N} \sum_{k=0}^{N-1} \frac{H_k}{1 - rW_N^{-k} z^{-1}} \quad (4)$$

그림 1의 회로를 실현하는데는 $H_k = H(W_N^{-k}) = |H_k| \cdot e^{j\theta_k}$ 와 같은 複素곱 쌍계산이 必要하게 된다.
입출스應答 $h(n)$ 가 實數일 때는 周波數 標本이
 H_k 는 實數軸에 대해 複素共액대칭으로 된다.

$$\text{即}, |H_k| = |H_{N-k}| \quad (5)$$

$$\theta_k = -\theta_{N-k} \quad (6)$$

$$\text{또 } H_0 = 0, \theta_0 = 0 \quad (7)$$

(7)式을 (4)式에 代入하여 $r=1$ 로 놓으면

$$H(z) = \frac{1 - Z^{-N}}{N} \cdot \left[\sum_{k=1}^{N/2-1} \frac{|H_k| \cdot e^{j\theta_k}}{1 - Z^{-1} \cdot e^{j\frac{2\pi k}{N}}} + \sum_{k=N/2+1}^{N-1} \frac{|H_k| \cdot e^{j\theta_k}}{1 - Z^{-1} \cdot e^{j\frac{2\pi k}{N}}} + \frac{H_0}{1 - Z^{-1}} + \frac{H_{N/2}}{1 + Z^{-1}} \right] \quad (8)$$

右邊 第 2 項에 (5), (6)을 代入하고 $k' = N - k$ 를
놓으면 第 1 項과 第 2 項은 複素共액이 된다. 따라서

$$H(z) = \frac{1 - Z^{-N}}{N} \cdot \left[\sum_{k=1}^{N/2-1} \frac{2|H_k| \cdot [\cos \theta_k - Z^{-1} \cdot \cos(\theta_k - 2\pi k/N)]}{1 - 2 \cdot Z^{-1} \cdot \cos(\frac{2\pi k}{N}) + Z^{-2}} + \frac{H_0}{1 - Z^{-1}} + \frac{H_{N/2}}{1 + Z^{-1}} \right] \quad (9)$$

$N \otimes 1$ 偶數일 때 線形位相을 갖기 위해 서

$$\theta_k = \begin{cases} -\frac{\pi(N-1)}{N} \cdot k, & k = 0, 1, \dots, \frac{N}{2}-1 \\ \frac{\pi(N-1)}{N} \cdot (N-k), & k = \frac{N}{2}+1, \dots, N-1 \end{cases} \quad (10)$$

$$\text{또 } H_{N/2} = 0 \quad (11)$$

式(10), (11)을 (9)式에 代入하면

$$H(z) = \frac{1 - Z^{-N}}{N} \cdot \left[\sum_{k=1}^{N/2-1} \frac{(-1)^k \cdot |H_k| \cdot 2 \cos\left(\frac{\pi k}{2}\right) \cdot (1 - Z^{-1})}{1 - 2Z^{-1} \cdot \cos\left(\frac{2\pi k}{N}\right) + Z^{-2}} + \frac{H_0}{1 - Z^{-1}} \right] \quad (12)$$

(12)式은 그림 2와 같이 實現할 수 있다.

3. C.F.B.의 實驗 및 結果

그림 2에서 出力を 각각 分리하면 $N/2$ 채널의 B.P. F. 맹크를 구성할 수 있다.

B.B.D. MN3003을 써서 C.F.를 구성하고 그림 3과 같이 S/H 회로와 OP 앰프를 써서 R.F.

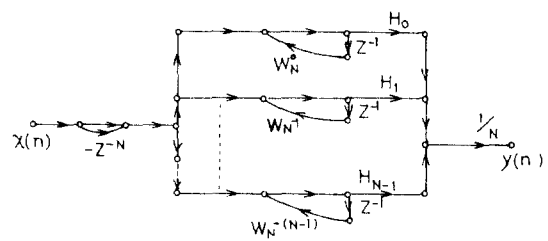


그림 1 주파수표본 여과기
Frequency sampling filter.

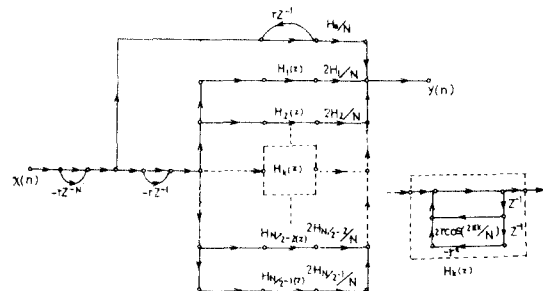
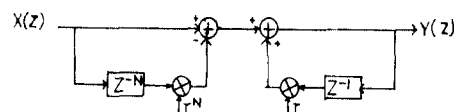


그림 2 간략화된 주파수표본 여과기
Simplified F.S.F.

(Recursive Filter)를 구성하였다.

그림 3(a)의 선달한수에 $r=1$, $Z = e^{j\omega\tau}$ 를 놓으면 주파수 응답 특성을 아래와 같다.



$$\text{그림 3(a)} \quad H(z) = \frac{1 - r^N \cdot Z^{-N}}{1 - rZ^{-1}}$$

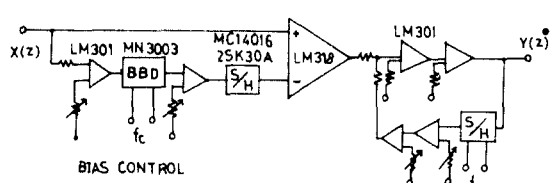


그림 3(b) 그림 3(a)의 실험회로 개략도
Experiment circuit of Fig. 3(a).

$$H(e^{jw\tau}) = \frac{1 - e^{-jw\tau N}}{1 - e^{-jw\tau}} = \frac{\sin(w\tau N/2)}{\sin(w\tau/2)} \cdot e^{j(N-1)w\tau/2} \\ = |H(e^{jw\tau})| \cdot / \text{arc}\{H(e^{jw\tau})\} \quad (14)$$

$$|A_n| = |H(e^{jw\tau})| = \left| \frac{\sin(w\tau N/2)}{\sin(w\tau/2)} \right| \quad (15)$$

그림 4는 (15)식에서 주파수 $f_c = 50\text{kHz} = 1/\tau$ 의 경우에 대한 주파수 특성을 보이고 있다. 계산값은 $r=1$ 일 때이고 실증값은 $r=0.85$ 일 때의 그림이다. R.F.의 r 값이 0.85보다 낮을 때에는 振動現象을 보인다. $T = N \cdot \tau = 33 \times 20\mu\text{s} = 660\mu\text{s}$ 이고 $f_i = 1/T = 1.515\text{kHz}$ 의 계산값과 실증값은 대체적으로 잘一致하고 있다. 사진 1, 2의 밀의 波形은 Function Generator로부터의 Chirp Signal(20Hz~9kHz)을 나타낸다.

0.2[V_{p-p}]의 주파수 신호를 印加했을 때 習慣의 波形은 出力を 나타내며 低周波成分이 크게 증가되어 있음을 觀察할 수 있다. 주파수를 변화시켰을 때 主峰의 最大值: A_0 와 第1側峰의 最大值: A_1 , 第2側峰의 最大值: A_2 를 그림 5에 보이고 있다. $f_c = 60\text{kHz}$ 는 방에서 가장 良好한 L.P.E. 특성을 알고 있음을 알 수 있다. 이 때 계산값이 33倍의 出力인데 비해서 30倍정도의 실증값을 얻고 있음을 알았다. 주파수를 증가하거나 낮은 값에서는 A_0 값이 매우 떨어져 있다. 이것은 f_c 변화에 따라 B.B.D.의 非轉送效率가 차지는 대起因하는 것으로 생각된다.^④

사진 3의 밀의 波形은 주파수 신호를 印加했을 때의 C.F.의 出力波形이다. $f_i = 1.515\text{kHz}$ 에서 마

더를 이루고 있다.

지금까지의 入力波形이 正弦波 주파수 신호인데 사진 6에서는 구형파 주파수 신호 入力의 경우에 대해서도 유사한 包絡線出力波形을 얻고 있다.

사진 4, 5의 경우는 주파수 入力에 대한 出力 을 보이고 있다. 사진 5는 White Noise가 入力에 믹스된 경우이다. 入力은 완전히 숨겨져 있을지라도 波形의 低周波成分은 平均加算되어 크게 S/N비가 改善되어 있음을 알 수 있다.

出力波形의 오라전의 上下非對稱性은 B.B.D.의 정성성이 완전히 線形이 아닌 것에 기인한다.^④ C.F.의 B.B.D.에는 주력雜音이 큰 스파이크로나 있다. S/H 회로에서 이것을 충분히 제거하고 있다. 이 밖에 直流水準의 變動에 의한 삽음도 있을 수 있다. 이와 같은 삽음은 B.B.D.를 2개並列로 하여 f_c 의 push-pull 및 信號成分를 差分形으로動作시켜 除去할 수 있다.

4. 다른 스펙트럼 解析方法과의 比較

從來의 C.T.D.를 사용한 스펙트럼 解析回路을 發表된 것은 Brodersen^⑤에 의한 500段T.F.(Transversal Filter)를 이용한 것이 있다. 이것은 Tap

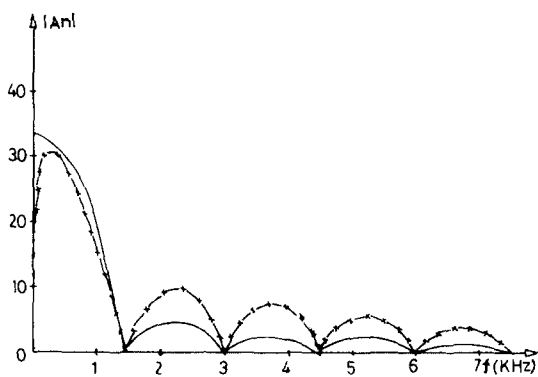


그림 4 $N=33$, $f_c = 50\text{kHz}$ 에서 $H(z) = \frac{1 - r^n Z^{-n}}{1 - rZ^{-1}}$ 의 特性

Frequency characteristics of

$$H(z) = \frac{1 - r^n Z^{-n}}{1 - rZ^{-1}} \text{ at } N=33, f_c = 50\text{kHz}.$$

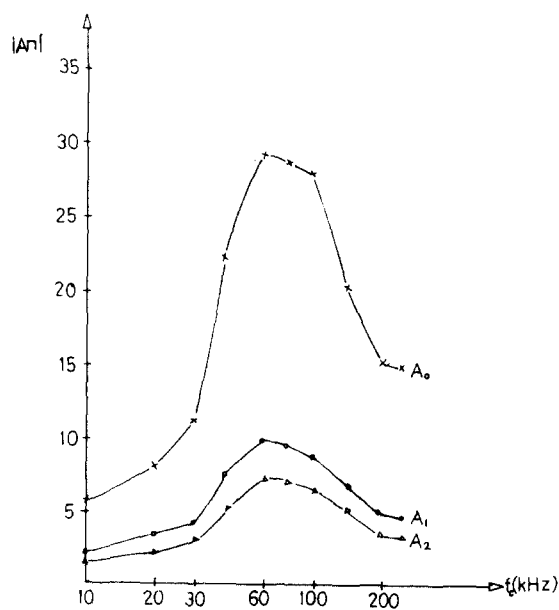


그림 5 주파수 f_c 에 主峰 (A_0) 및 側峰 (A_1, A_2)의 最大值
+ 電壓利得 ($|A_n|$)

Mainlobe (A_0) or sidelobes (A_1, A_2) vs.
clock frequency (f_c).

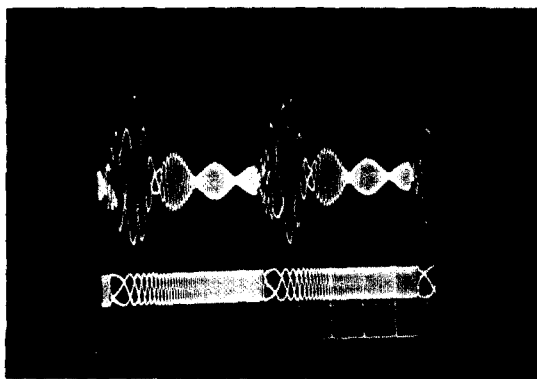


Photo. 1 $f_c = 30\text{kHz}$

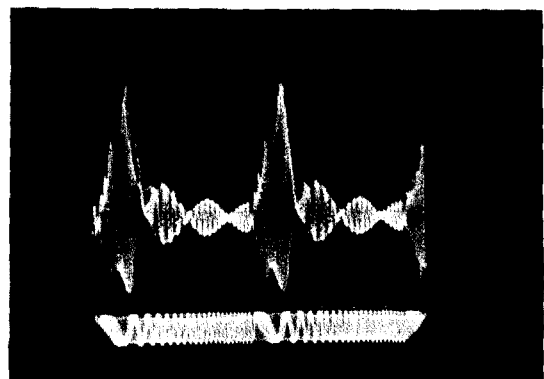


Photo. 4 $f_c = 80\text{kHz}$

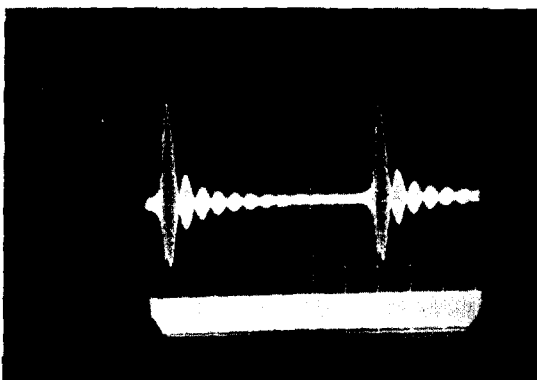


Photo. 2 $f_c = 50\text{kHz}$

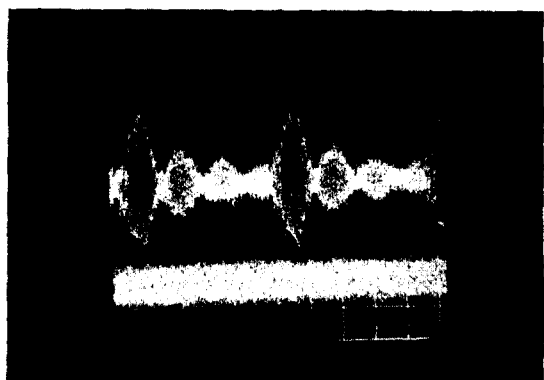


Photo. 5 $f_c = 80\text{kHz}$

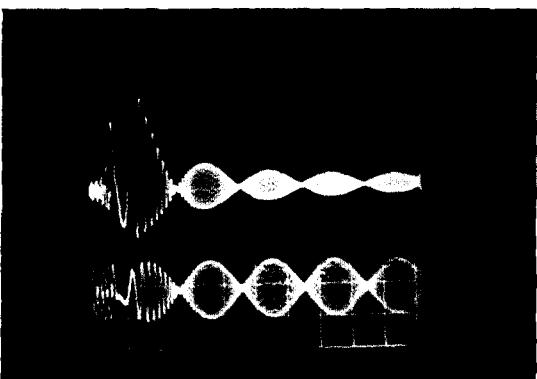


Photo. 3 $f_c = 60\text{kHz}$

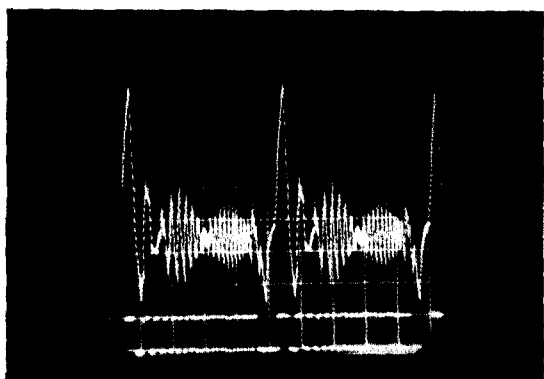


Photo. 6 $f_c = 100\text{kHz}$

Output : Upper vertical scale : 1 V/Division
Input : Lower vertical scale : 0.2 V/Division

Weight를 좁은 B.P.F. 할 수 있게 한 것과 chirp Z.T. (Z변환) 알고리즘을 이용한 逐次形 푸우리에 解析回路에 관한 것이다.

Goldberg는 1977년 電極分離形 T.F.에 前處理 품셈으로 PROM을 1 chip에 넣어서 프로그램할 수 있게 한 것을 發表하였다.

그러나 以上의 發表論文에 있어서 C.T.D.의 遲延段으로부터 Non-Destructive Tapping을 하는 데에는 限界가 있다. 實際로 市販되고 있는 템달린 C.T.D.는 32段의 것이며 그것도 매우 비싼 상태이다.

本研究에서는 템없는 B.B.D.를 C.F.에 쓰므로써 품셈으로부터 유기되는 誤差가 發生하지 않는 利點이 있다.

F.S.F. 알고리즘은 既知의 入力에 대해서 보는 좁은 B.P.F.에 대해서는 F.F.T.보다도 計算速度도 빠르게 된다.

從來의 超音波遲延線에 대신하여 B.B.D.를 사용함으로써 디지털信號處理의 利點에 더우기 A/D변환기도 필요없는 長點을 갖는다.

1024段 B.B.D.를 C.F.에 쓰면 60dB의 SN비의 改善이 가능하며 N을 크게 할수록 解像度를 높일 수가 있다.

5. 결 론

임펄스應答과 관계없이 最適필터의 設計가 可能한 F.S.F. 알고리즘을 이용하여 C.F.B.를 설계하였다.

B.B.D. MN3003을 사용하여 C.F.를 구성하고

N/2채널의 共振器를 접속하여 B.P.F. 맵크가 구성될 수 있음을 실험하였다.

Digital Signal Processing의 利點에 A/D 변환기 없이 사용할 수 있는 B.B.D.회로는 從來의 超音波遲延線路를 대치하여 使用할 수 있는 可能성이 확인되었다.

本研究는 東京大學電子工學科 宇都宮·曾根研究室에서 實行된 것으로 지도현달해주신 宇都宮敏男教授, 曾根悟助教授에게 感謝드리며 많은 討論과 協助를 하여 준 宇曾研究室의 여러 멤버들께도 謝意를 표합니다.

參 考 文 獻

- (1) A. V. Oppenheim, "Digital signal processing," Prentice-Hall 1975.
- (2) L. R. Rabiner, "The theory and application of digital signal processing," Prentice-Hall 1975
- (3) L. R. Rabiner, "Recursive and nonrecursive realizations of digital filters designed by frequency sampling techniques," IEEE Trans. vol. AU-19, no. 3 pp. 200-207, Sep. 1971.
- (4) National BBD MN3003 Characteristics Note
- (5) R. W. Brodersen, "A 500-Stages CCD transversal filter for spectral analysis," IEEE vol. SC-11, no. 1, pp. 75-84 Feb. 1976.
- (6) S. F. George, "Comb filters for pulsed radar use," Proc. of I.R.E. pp. 1159-1165, 1954.
- (7) C. H. Sequin, "Charge transfer devices," Academic Press 1975.



李光衡 (Kwang Hyung LEE) 正會員
1945年3月20日生
1968年2月：서울大學校工科大學電子工
學科卒業
1972年8月：同上大學院電子科卒業
1974年4月：東京大學大學院入學
1979年3月：同上電子工學博士課程履修
1982年9月：崇田大學校工科大學電子工
學科勤務